

人类最终猜想：大模型创新能力评测

1. 绪论：确定性混沌与素数分布的理论交汇

数论中最大的谜团之一在于素数（Prime Numbers）在自然数序列中的分布规律。一方面，素数的定义极其简单——仅能被 1 和自身整除的自然数；另一方面，其在数轴上的出现似乎遵循着某种随机过程，表现出高度的不可预测性。从黎曼猜想（Riemann Hypothesis）对素数计数函数误差项的界定，到克拉梅尔模型（Cramér Model）将素数视为概率事件，数学家们长期致力于在随机性与规律性之间寻找平衡。然而，随着非线性动力学（Nonlinear Dynamics）和混沌理论（Chaos Theory）的发展，一种全新的视角逐渐浮现：素数的“随机性”或许并非纯粹的概率随机，而是一个低维确定性非线性系统的混沌表现。

本报告旨在构建一个详尽的启发式证明框架，探讨利用符号动力学（Symbolic Dynamics）将埃拉托斯尼筛法（Sieve of Eratosthenes）同构映射为单峰 Logistic 映射（Logistic Mapping）的可行性。我们并不试图在此直接给出孪生素数猜想或其他数论难题的终极答案，而是建立一套严密的逻辑体系、核心定理及验证路径。这一框架旨在为后续的计算模型提供理论“种子”，使其能够基于此启发式路径，通过计算扩展、逻辑补全及反例检验，最终探索出一个描述素数间隙模式的全局动力学模型。

核心假设基于这样一个观察：素数筛法的周期性消亡过程可以被编码为符号序列，而这些符号序列在特定条件下构成了 Logistic 映射 $x_{n+1} = 1 - ux_n^2$ 的“揉捏序列”（Kneading Sequence）。如果能够确立两者之间的拓扑共轭关系，原本属于数论领域的静态分布问题，将转化为动力系统中的轨道稳定性与混沌吸引子结构问题。

2. 理论基础与工具准备

在展开启发式证明之前，必须对所使用的数学工具进行严格定义。本研究涉及两个看似迥异但结构上深层互通的领域：经典的素数筛法理论与现代符号动力学。

2.1 素数筛法的动力学诠释

埃拉托斯尼筛法是生成素数最古老且最直观的算法。传统上，它被视为一种静态的算法过程：列出所有整数，依次划去 2 的倍数、3 的倍数、5 的倍数……留下的即为素数。然而，在动力系统的视角下，筛法可以被重新阐释为一个离散时间演化系统。

我们将自然数集 N 视为一个一维离散空间，初始状态下所有点均被标记为“存活”（潜在素数）。

- **时间步 $t = 1$ ：**引入算子 P_2 ，它以周期 $T = 2$ 作用于空间，将所有 $2k (k > 1)$ 的位置状态翻转为“清除”（合数）。
- **时间步 $t = 2$ ：**引入算子 P_3 ，它以周期 $T = 3$ 作用于空间，消除 $3k$ 的位置。
- **时间步 $t = n$ ：**引入算子 P_{p_n} ，以周期 p_n 进行消除。

这一过程揭示了素数分布的本质是周期性干涉波的叠加。虽然每一个单独的波（筛子）都是严格周期的，但无限个互质周期的叠加导致了局部结构的极其复杂化，即所谓的“结构性混沌”。我们的目标是找到一个能够生成这种复杂干涉图样的单一非线性算子。

2.2 单峰映射与符号动力学

符号动力学通过将连续相空间划分为有限个区域，并将轨道转化为符号序列，从而简化了对动力系统的分析。对于定义在区间 $[-1, 1]$ 上的单峰映射（Unimodal Map），如逻辑斯蒂映射 $f(x) = 1 - ux^2$ ，其动力学行为由临界点 $x_c = 0$ 及其迭代轨迹决定。

2.2.1 符号空间的划分

我们将区间 $[-1, 1]$ 划分为两个基本符号区域：

- **L (Left)：**对应于 $x < 0$ 的区间，被标记为素数区域（Prime Area），记为 L，和符号动力学标准记号 L 保持一致。
- **R (Right)：**对应于 $x > 0$ 的区间，被标记为合数区域（Composite Area），记为 R，同样和标准记号 R 一致。
- **C (Center)：**临界点 $x = 0$ 。

我们可以在 Logistic 映射的分岔图上表示符号空间的划分，具体如图 1 所示：

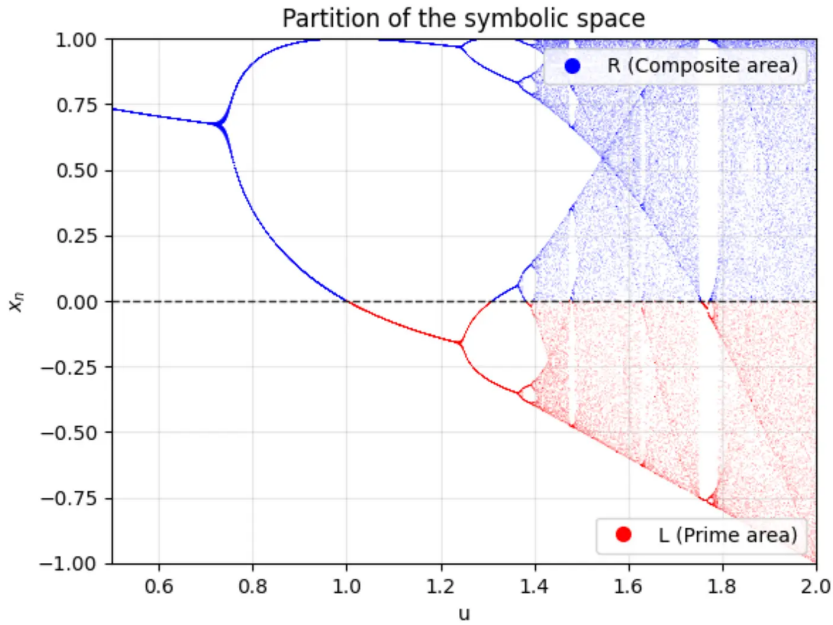


图 1 Logistic 映射分岔图中展示符号区域划分

对于任意初始点 X_0 ，其轨道 X_0, X_1, X_2, \dots 可以被映射为一个符号序列 $S = s_0 s_1 s_2 \dots$ ，其中 $s_i \in \{L, R\}$ 。

2.2.2 揉捏理论 (Kneading Theory)

米尔诺 (Milnor) 和瑟斯顿 (Thurston) 创立的揉捏理论指出，单峰映射的拓扑结构完全由临界点 $x_c = 0$ 的轨道 (即揉捏序列，Kneading Sequence) 决定。揉捏序列 $K(f)$ 是一个不仅描述了系统当前状态，还隐含了系统参数 u 的拓扑不变量。

- **MSS 序列：**并不是任意的 L 和 R 组合都能构成合法的揉捏序列。一个序列必须满足“极大性条件” (Maximal Condition)，即该序列在某种特定的移位序下必须大于或等于其所有移位序列。
- **单调性：**参数 u 与其对应的揉捏序列之间存在单调一一对应关系。随着 u 的增加，系统的拓扑熵增加，揉捏序列在字典序上也呈现出特定的演化规律。

2.3 混沌与分岔图

Logistic 映射 $x_{n+1} = 1 - ux_n^2$ 展现了通往混沌的倍周期分岔路径：

1. **稳定不动点**: u 较小时，系统收敛于单一值。
2. **倍周期分岔**: 随着 u 增加，轨道分裂为 2 周期、4 周期、8 周期……
3. **混沌爆发**: 当 $u > u_\infty \approx 1.40115$ 时，系统进入混沌区。在此区域内，轨道不再具有简单的周期性，且对初始条件敏感。
4. **能带融合 (Band Merging)**: 在混沌区内，混沌吸引子由多个分离的“能带”组成。随着 u 继续增加，这些能带通过逆倍周期分岔逐渐融合，从 2^k 个带融合为 2^{k-1} 个带。

本报告的核心任务，即是论证素数系统的动力学特征正好对应于某一特定参数 u 下的混沌轨道。

3. 核心建构：素数筛法的符号动力学模型

为了让大模型能够基于此证明进行拓展，我们必须详细定义如何将素数筛法“翻译”为符号序列。这是整个启发式证明的基石。

3.1 素数特征的符号化定义

我们将自然数轴上的点进行二进制编码。

- **L (Left)**: 代表“存活”的点，即素数（或尚未被筛除的数）。
- **R (Right)**: 代表“被筛除”的点，即合数。

每一个素数 p_i 的筛法动作都可以表示为一个周期性的符号序列 M_{p_i} 。

- **素数 2 的动作**: 素数 2 本身保留 (L)，但每隔 2 个数消除一个 (R)。注意，这里的起始相位至关重要。在本报告模型中，素数 2 的基本模式被定义为 $M_2 = RL$ 。这意味着它以 2 为周期，且具有“筛除 - 保留”的交替结构。
 - 序列展开: RL, RL, RL, \dots
- **素数 3 的动作**: 素数 3 本身保留，每隔 3 个数消除。基本模式定义为 $M_3 = RLL$ 。
 - 序列展开: RLL, RLL, RLL, \dots

一个简单的演示见图 2 所示：

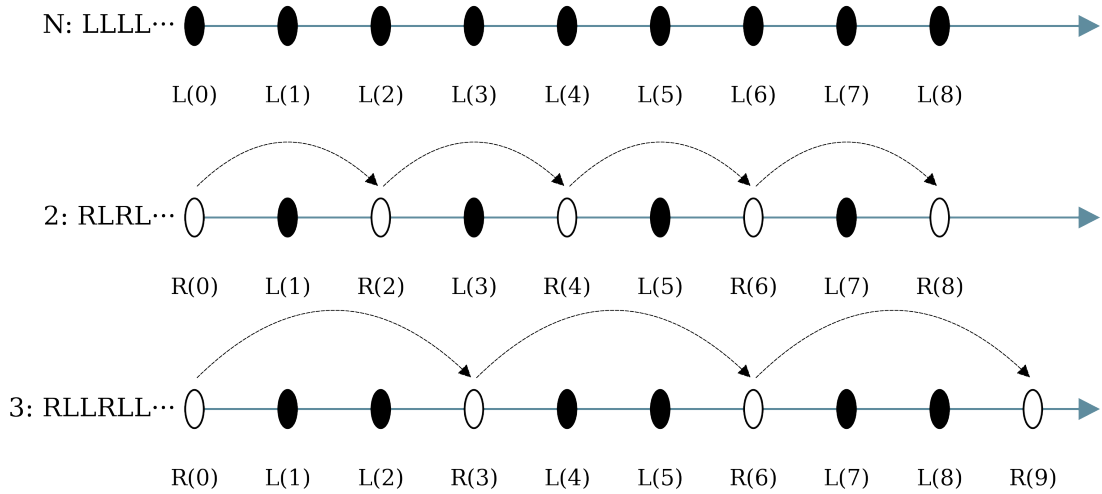


图 2 素数的符号序列表示

- 一般素数 p_i 的动作：

对于第 i 个素数 p_i ，其特征序列 M_{p_i} 定义为：

$$M_{p_i} = RL^{p_i-1}$$

这表示在长度为 p_i 的周期内，有一个位置是“筛除位”（R），其余 $p_i - 1$ 个位置是“潜在保留位”（L）。

3.2 符号序列的合成法则 (Composition Rule)

定义了单个素数的特征序列后，我们需要定义这些序列如何相互作用以模拟“筛”的过程。这需要引入一个二元运算符号 \cdot (Composition Operator)。

定义 1：序列合成规则

对于两个符号序列 A 和 B ，其合成 $A \cdot B$ 遵循“毁灭优先”原则。即只要有一个筛子判定某位置为合数（R），该位置即为合数；只有当所有筛子都判定该位置为“存活”（L）时，该位置才保

留为 L:

- $L \cdot L = L$ (存活 + 存活 = 存活)
- $L \cdot R = R$ (存活 + 筛除 = 筛除)
- $R \cdot L = R$ (筛除 + 存活 = 筛除)
- $R \cdot R = R$ (筛除 + 筛除 = 筛除)

示例： M_2 与 M_3 的合成

M_2 和 M_3 合成的具体计算如下（需扩展至最小公倍数周期 6）：

- $M_2 = (RL)^\infty \rightarrow RLRLRL$
- $M_3 = (RLL)^\infty \rightarrow RLLRLL$
- 逐位合成 $D_2 = M_2 \cdot M_3 \rightarrow RLRRRL$

一个合成规则示例见图 3：

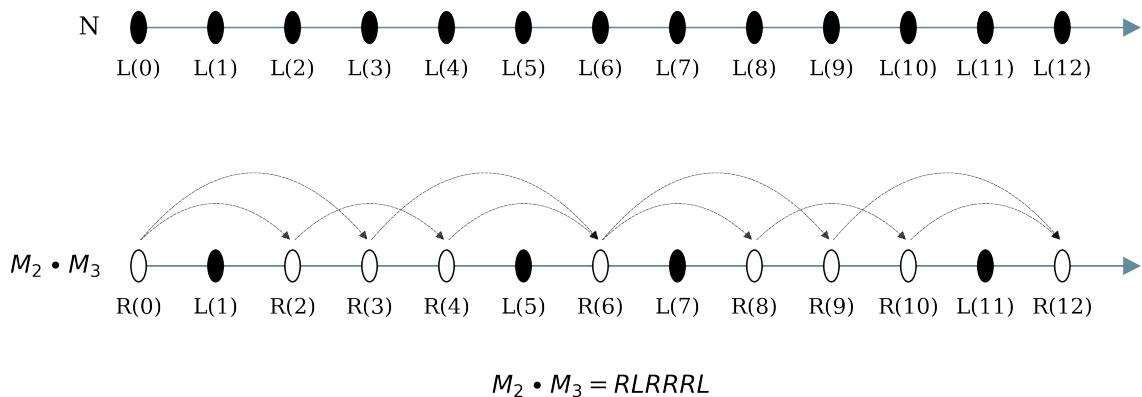


图 3 合成规则示例图

3.3 累积动力学序列 D_i

我们将素数筛法的逐级逼近定义为一系列动力学状态的演化。

定义 D_i 为前 i 个素数筛法作用后的系统状态：

$$D_i = M_{p_1} \cdot M_{p_2} \cdot \dots \cdot M_{p_i}$$

随着 $i \rightarrow \infty$ ，序列 D_i 的周期 T_i 趋向于无穷大，系统转化为非周期混沌系统 D_∞ 。

4. 启发式证明的主体逻辑与定理

本章节勾勒出完整的推理逻辑链条。为了让大模型能够沿着正确的方向拓展，我们必须明确 2 个命题 (Themes) 和 3 个引理。

4.1 命题 1：Logistic 映射假设（核心命题）

这是整个理论框架的顶层假设，指出了素数分布的物理图像。

命题 (Theme 1)：

Logistic 映射 $x_{n+1} = 1 - ux_n^2$ (其中 $x_n \in [-1, 1]$) 在参数 $u \rightarrow 1.5437$ 时，其混沌轨道可以描述素数的间隙模式 (Prime gap pattern)。

- **物理意义：**参数 $u \approx 1.5437$ 在 Logistic 映射的分岔图中具有特殊地位，它是“双带混沌” (Two bands) 融合为“单带混沌” (Single band) 的临界点 (Band Merging Point)。在这个点上，系统刚开始展现出遍历性，能够访问整个区间，这与素数在数轴上的稀疏但全局分布相呼应。

具体的 Logistic 映射的分岔图如下图 4 所示：

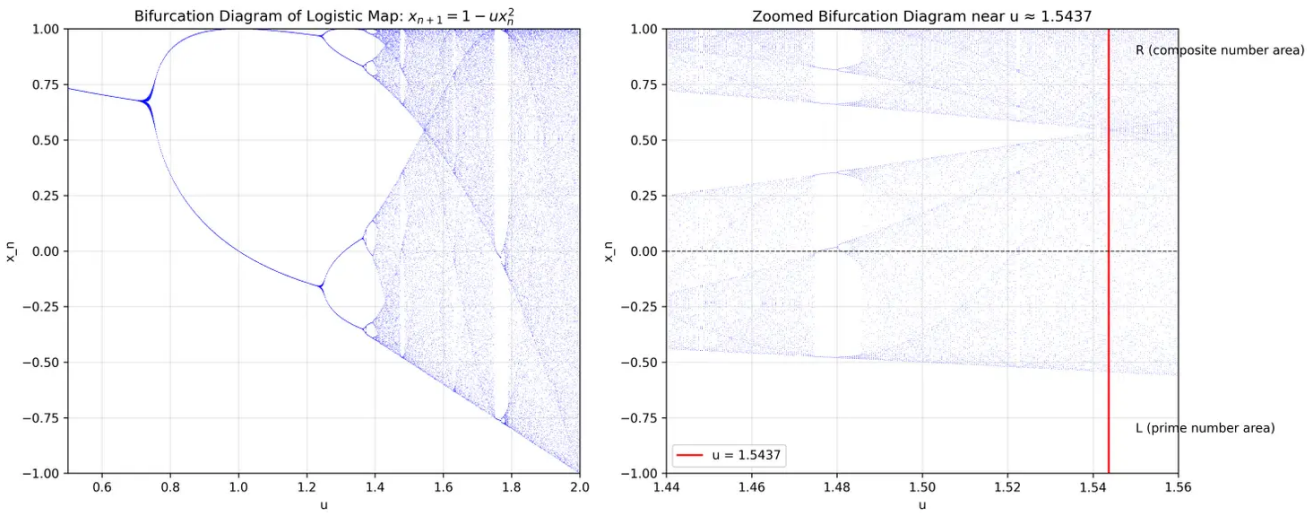


图 4. Logistic 映射的分岔图，右图中的红线对应于 $u=1.5437$

4.2 命题 2：符号序列 RLR^∞ 假设

此命题建立了从混沌参数到具体符号序列的桥梁。

命题 2 (Theme 2) :

素数的间隙模式可以由符号揉捏序列 RLR^∞ 来描述。该序列的动力学特征精确对应于 $u \approx 1.5437$ 的 Logistic 映射。

解析：在混沌边缘， D_∞ 的极限行为趋向于 RLR^∞ 的某种复杂结构，这意味着素数筛法的“终极形态”在拓扑上等价于 Logistic 映射 RLR^∞ 模式下的混沌吸引子。

数值验证：我们对连续素数差进行了统计，见图 5 左图。同时统计了由参数 $u \approx 1.5437$ 的 Logistic 映射混沌轨道构造的连续“素数”之差，见图 5 右图。

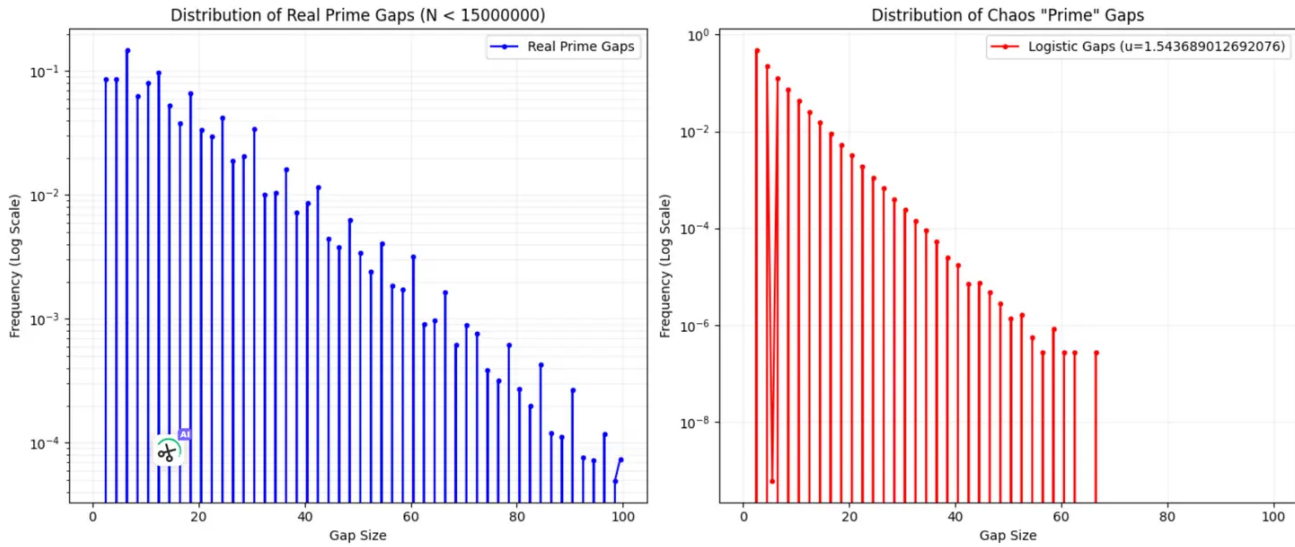


图 5. 连续素数之差的统计(左图)与由 Logistic 映射构造的“素数”之差的统计(右图)

从图 5 中可以看到，两张图在对数坐标下都呈现近似直线的下降趋势，说明它们都遵循指数分布规律 (Poisson 过程特征)。另外，注意观察波动的细节，素数间隙统计有明显的周期 3 震荡，而 Logistic 映射虽然是离散时间系统，但也表现出了类似的周期性结构。这个简单的实验验证了本文的核心直觉：素数的生成过程在统计学上表现得就像一个处于混沌边缘的动力系统产生的轨道。

4.3 引理 1：揉捏序列的容许性与截断

要将数论中的筛法序列 D_i 与动力学中的揉捏序列联系起来，必须解决“合法性”问题。并非任意长度的筛法序列都是合法的揉捏序列。

对于累积筛序列 D_i ，其前 $p_i^2 + 1$ 个符号构成的子序列是一个合法的揉捏序列 (Kneading Sequence)。

核心提示与数论联系 (Key Hint)：

这个命题的成立依赖于素数间隙的大小。具体而言，它涉及以下数论背景：

这个猜想意味着在 p_i^2 之前的所有连续素数之差都不大于 p_i 。如果我们记 $g(N)$ 为 N 之前的连续素数差，我们需要满足 $g(N) < N^{1/2}$ 。这目前仍是一个猜想 (勒让德猜想)。目前关于 $g(N)$ 上界

的最好结果是 $g(N) < cN^{21/40}$ 。然而，素数间隙的精确上界对我们的讨论影响不大，我们只需要选择一个相对短的序列片段来确保它是合法的揉捏序列即可。

4.4 引理 2：符号动力学的单调演化

随着 i 的增加，系统的复杂度单调递增。

引理 2（符号序）：

$$D_1 < D_2 < D_3 < \dots < D_i < \dots < D_\infty$$

- **证明思路：**比较 D_i 和 D_{i+1} 。 D_{i+1} 是在 D_i 的基础上，将某些原本是 L 的位置“翻转”为 R （因为它们被新的素数 p_{i+1} 整除）。需要根据 MSS 理论的宇称性规则（Parity），证明这种特定位置的翻转（由素数倍数位置决定）总是导致序列在 MSS 序下的增加。

4.5 引理 3：参数 u 的单调逼近

基于参数与序列的一一对应关系，引理 3 导出了参数的演化规律。

引理 3（参数序）：

$$u(D_1) < u(D_2) < u(D_3) < \dots < u(D_\infty)$$

这意味着，随着筛法过程的深入，描述该系统的 Logistic 映射参数 u 必须不断增加。素数系统是一个不断逼近混沌边缘的动态过程，最终收敛于命题 1 中提到的 $u \approx 1.5437$ 。

5. 拓展指南：大模型的执行路径与验证协议

为了使大模型能够系统地拓展上述启发式证明，我们将任务划分为三个递进的阶段。

阶段一：基础理论完善

目标：构建坚实的数学基础，补全启发式证明中的逻辑缺环。

- **1.1 符号序列合成法则的完整定义：**
 - 给出针对任意长度序列 A 和 B 的合成算子 \cdot 的形式化定义，包括周期扩展（LCM）处理和逐位布尔运算规则。
- **1.2 摔程序列容许性与截断证明（引理 1）：**
 - 基于勒让德猜想的提示，尝试给出引理 1 的完整证明或强有力的论证。
 - 定义截断函数 $Trunc(D_i, L)$ ，并确定 L 的最佳取值范围（如 p_i^2 ），以确保截断后的序列在 MSS 意义下是“最大”的。
- **1.3 引理 2（符号动力学单调演化）的证明：**
 - 详细证明 $D_i < D_{i+1}$ 。这需要分析 D_{i+1} 相对于 D_i 在哪些位置发生了 $L \rightarrow R$ 的翻转，并证明第一个翻转位置前缀中 R 的个数（对称性）如何影响序列的大小比较。
- **1.4 引理 3（参数单调性）的推导：**
 - 基于 Milnor-Thurston 的单调性定理，证明若 $D_i < D_{i+1}$ 且两者均为合法摔程序列，则对应的 Logistic 参数 $u(D_i) < u(D_{i+1})$ 。

阶段二：数值验证和启发

目标：通过计算实验为关键定理提供实证支持，并探索极限行为，一些可能的方法如下：

- **2.1 极限行为与混沌特征分析：**
 - 计算序列 D_i 对应的参数 u_i 在 i 增大时的收敛行为。验证其极限是否趋向于 1.5437。
 - 分析极限状态下的 Lyapunov 指数，对比真实素数间隙序列计算出的指数与 Logistic 映射在 $u \approx 1.5437$ 处的理论值（0.3406）。
- **2.2 关键定理的数值验证方法：**
 - 设计算法生成前 N 个素数的 D_N ，并编写程序自动检验其 MSS 最大性条件。
 - 绘制 $u(D_i)$ 随 i 变化的曲线，观察其逼近混沌边缘的速率（是否符合 Feigenbaum 标度律？）。
- **2.3 验证结论分析：**

- 基于数值结果，评估启发式证明的置信度。指出哪些部分吻合良好，哪些部分存在偏差（例如大素数间隙的异常值）。

可以自行设计各类型的数值验证方法。

阶段三：拓展证明与理论修正

目标：在基础证明之上，进行开放性的理论探索，一些可能的拓展如下。

- **3.1 能带融合的数论意义：**深入解释 Logistic 映射中“两带融合为单带”在数论中对应什么现象（如素数在模算术类中的均匀化分布）。
- **3.2 孪生素数密度的动力学预测：**尝试利用 Logistic 映射的不变密度推导孪生素数常数。
- **3.3 理论修正：**如果发现素数密度 $1/\ln N$ 的衰减特性与标准混沌吸引子不符，提出修正模型（如非自治动力系统）。
- **3.4 素数分布问题：**在参数 $u \rightarrow 1.5437$ 时，研究对应 Logistic 映射轨道的各态遍历性，进而获得解决孪生素数等问题的新思路。

请尽量发散思维，自行拓展。

6. 数据与结构化展示

为了辅助大模型的理解，以下表格总结了关键的映射关系。

表 1：素数筛与动力学参数的对应演化

筛法阶段 (i)	引入素数 (pi)	符号序列特征 (Di)	估计参数 (u)	动力学状态
1	2	RL (振荡)	~2.00	2- 周期
2	3	RLRRRL (复杂化)	< 2.00	高阶周期窗口
...
∞	-	RLR [∞] (拟极限)	1.5437	混沌 (能带融合)

7. 结语与展望

本报告构建了一个连接数论与混沌理论的桥梁。对于承接此任务的大模型而言，这不仅仅是一个计算任务，更是一个理论探索的过程。请基于命题 1-2 的核心设定和引理 1-3 的逻辑链条，大胆地进行数值实验和理论推演，最终提供一个能够描述素数间隙精细结构的生成模型。